

**IDENTIFIKASI TUMOR PADA OTAK  
MENGUNAKAN *DISCRETE WAVELET  
TRANSFORM (DWT) DAN ARTIFICIAL NEURAL  
NETWORK (ANN)***

**SKRIPSI**

**Diajukan Untuk Memenuhi Salah Satu Persyaratan Dalam Memperoleh  
Gelar Sarjana Matematika (S. Mat)**



**OLEH**

**ENDAH NUR SALAMAH**

**NIM.H72214007**

**PROGRAM STUDI MATEMATIKA  
JURUSAN SAINS  
FAKULTAS SAINS DAN TEKNOLOGI  
UNIVERSITAS ISLAM NEGERI SUNAN AMPEL  
SURABAYA**

**2018**

## PERNYATAAN KEASLIAN

Yang bertandatangan dibawah ini:

Nama : Endah Nur Salamah

NIM : H72214007

Program Studi : Matematika

Angkatan : 2014

Menyatakan bahwa saya tidak melakukan plagiat dalam penulisan skripsi saya yang berjudul: **Identifikasi Tumor Pada Otak Menggunakan Discrete Wavelet Transform (DWT) Dan Artificial Neural Network (ANN)**. Apabila suatu saat nanti terbukti saya melakukan tindakan plagiat, maka saya akan menerima sanksi yang telah ditetapkan. Demikian pernyataan keaslian ini saya buat dengan sebenar-benarnya.

Surabaya, 3 Agustus 2018



Endah Nur Salamah  
NIM.H72214007

LEMBAR PENGESAHAN

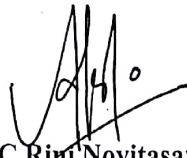
IDENTIFIKASI TUMOR PADA OTAK MENGGUNAKAN DESCRETE  
WAVELET TRANSFORM (DWT) DAN ARTIFICIAL NEURAL  
NETWORK (ANN)

Disusun oleh  
Endah Nur Salamah  
NIM.H72214007

Telah dipertahankan di depan Dewan Penguji  
Pada tanggal 20 Juli 2018  
Dan dinyatakan telah memenuhi syarat  
untuk memperoleh gelar  
Sarjana Matematika (S.Mat)

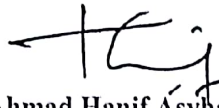
Dewan Penguji

Penguji I



Dian C Rini Novitasari, M.Kom  
NIP.198511242014032001

Penguji II



Ahmad Hanif Asyhar, M.Si  
NIP.198601232014031001

Penguji III



Yuniar Farida, M.T  
NIP.197905272014032002

Penguji IV



Aris Fanani, M.Kom  
NIP. 198701272014031002

Mengesahkan  
Dekan Fakultas Sains dan Teknologi  
UIN Sunan Ampel Surabaya



Dr. Eni Purwati, M.Ag  
NIP.196512211990022001



KEMENTERIAN AGAMA  
UNIVERSITAS ISLAM NEGERI SUNAN AMPEL SURABAYA  
PERPUSTAKAAN

Jl. Jend. A. Yani 117 Surabaya 60237 Telp. 031-8431972 Fax.031-8413300  
E-Mail: perpus@uinsby.ac.id

LEMBAR PERNYATAAN PERSETUJUAN PUBLIKASI  
KARYA ILMIAH UNTUK KEPENTINGAN AKADEMIS

Sebagai sivitas akademika UIN Sunan Ampel Surabaya, yang bertanda tangan di bawah ini, saya:

Nama : ENDAH NUR SALAMAH  
NIM : H72214007  
Fakultas/Jurusan : SAINS DAN TEKNOLOGI / SAINS  
E-mail address : endahnursalamah@gmail.com

Demi pengembangan ilmu pengetahuan, menyetujui untuk memberikan kepada Perpustakaan UIN Sunan Ampel Surabaya, Hak Bebas Royalti Non-Eksklusif atas karya ilmiah :

Sekripsi  Tesis  Desertasi  Lain-lain (.....)

yang berjudul :

IDENTIFIKASI TUMOR PADA OTAK MENGGUNAKAN  
DISCRETE WAVELET TRANSFORM (DWT) DAN  
ARTIFICIAL NEURAL NETWORK (ANN)

beserta perangkat yang diperlukan (bila ada). Dengan Hak Bebas Royalti Non-Eksklusif ini Perpustakaan UIN Sunan Ampel Surabaya berhak menyimpan, mengalih-media/format-kan, mengelolanya dalam bentuk pangkalan data (database), mendistribusikannya, dan menampilkan/mempublikasikannya di Internet atau media lain secara *fulltext* untuk kepentingan akademis tanpa perlu meminta ijin dari saya selama tetap mencantumkan nama saya sebagai penulis/pencipta dan atau penerbit yang bersangkutan.

Saya bersedia untuk menanggung secara pribadi, tanpa melibatkan pihak Perpustakaan UIN Sunan Ampel Surabaya, segala bentuk tuntutan hukum yang timbul atas pelanggaran Hak Cipta dalam karya ilmiah saya ini.

Demikian pernyataan ini yang saya buat dengan sebenarnya.

Surabaya, 03 Agustus 2018

Penulis

(ENDAH NUR S. )





















Kesehatan merupakan nikmat disampaikan oleh Rasulullah SAW dalam hadits riwayat Al-Bukhori. Pada hadits tersebut Rasulullah menyampaikan bahwa di dunia terdapat dua kenikmatan yaitu kesehatan dan waktu luang. Jika hal tersebut (kesehatan) tidak diperhatikan maka manusia tersebut akan mendapatkan rugi. Untuk itu kita (manusia) harus terus memperhatikan dua kenikmatan tersebut. Akan tetapi, tidak ada ketentuan khusus dalam hadits yang mengatur secara eksplisit tentang anjuran untuk hidup sehat. Oleh karenanya, diperlukan suatu metode tertentu dalam mendiagnosis suatu penyakit sebagaimana yang dimaksudkan dalam hadits tersebut.

Membahas diagnosis pada dasarnya menentukan suatu jenis penyakit dengan cara mengidentifikasi gejala-gejala yang ditimbulkan dari penyakit tersebut. Salah satu penyakit di otak yang penting untuk diidentifikasi adalah tumor otak. Tumor otak adalah salah satu penyakit yang sangat berbahaya dan mematikan yang diderita oleh banyak orang di seluruh dunia. Kasus tumor otak tahun 2012 di Amerika Serikat sebanyak 688.000 orang menderita tumor otak primer (Meilisa, 2016). Pada tahun 2016 WHO telah mencatat sebanyak 6,2 juta orang didunia menderita tumor otak (Anitha & Raja, 2017). Tumor otak adalah penyebab kematian kelima dari seluruh pasien kanker pada wanita yang berusia 20-39 tahun (Sari, dkk., 2013)

Tumor adalah suatu massa jaringan yang terdiri dari sel tumor. Sel tumor merupakan sel yang ada di dalam tubuh mengalami perubahan sehingga bentuk, sifat, dan kinetiknya berubah, sehingga tumbuhnya menjadi liar, tidak terkendali dan terlepas dari kondisi normal (Sukardja, 2000). Tumor otak adalah suatu massa

jaringan dari sel-sel yang ada di otak tumbuh secara liar dan tidak terkendali. Tumor otak dapat dibedakan menurut tempat tumbuhnya jaringan tidak terkendali tersebut. Salah satunya adalah glioma. Glioma adalah jenis tumor otak yang tumbuh di sel glia (Drevelegas, 2011). Sel glia di otak merupakan sel pendukung neuron yang berperan untuk menentukan kontak sinaptik dan memelihara kemampuan sinyal dari neuron (Purves, dkk., 2001).

Glioma dapat diketahui melalui pemeriksaan MRI (*Magnetic Resonance Imaging*). MRI digunakan hampir 90% sebagai alat untuk pemeriksaan kepala dan vertebrata (sumsum tulang belakang) dengan hasil pencitraan otak dan medula spinalis sangat menakjubkan sehingga terlihat jelas, sedangkan 10% sebagai pemeriksaan organ yang lain (Sjahriar & Iwan, 2005). Glioma pada hasil pemeriksaan MRI akan berwarna lebih gelap. Pengambilan fitur glioma akan ditujukan untuk identifikasi sel otak pada sel glia yang normal dan abnormal (Anitha & Raja, 2017).

Secara umum, hasil dari pemeriksaan MRI otak yang berupa citra digital, akan digunakan sebagai data pengolahan dengan teknik-teknik pendekatan secara fungsional atau disebut dengan *soft computing*. Teknik *soft computing* merupakan model pendekatan dengan menggunakan komputer yang bekerja meniru akal manusia. Beberapa tahapan dalam teknik *soft computing* diantaranya pengolahan awal citra (*preprocessing*), segmentasi, ekstraksi citra/pengambilan fitur citra, dan klasifikasi. Beberapa penelitian terkait dengan *preprocessing* citra menggunakan penyelesaian *soft computing* yaitu “Peningkatan Kualitas Citra Foto Rontgen Sebagai Media Deteksi Kanker paru” yang bertujuan untuk memperbaiki kualitas

citra foto rontgen sebagai media deteksi kanker paru dengan menggunakan metode tapis median atau median filter dan ekualisasi histogram adaptif. Penelitian tersebut memperoleh hasil kontras lebih tinggi, pada satu citra yang dilakukan proses *preprocessing* yaitu sebelum pemrosesan 0,106 dan setelah pemrosesan adalah 0,165. Berdasarkan hasil tersebut diketahui bahwa metode tersebut memberikan hasil yang memuaskan (Listyalina, 2017).

Penelitian segmentasi citra dilakukan oleh Wei ya Guo, dkk dengan judul “Two-dimensional Otsu’s Thresholding Segmentation Method Based on Grid Box Filter” yang bertujuan menerapkan metode threshold otsu dua dimensi pada grid box filter. Hasil dari penerapan metode threshold otsu dua dimensi dengan integral image yaitu memiliki akurasi segmentasi yang tinggi (Guo, dkk., 2014). Selain itu Indra Abdam Muwakhid dan Dewi Nurdiyah juga melakukan penelitian dengan judul “Otsu Method for Image Finish Segmentation with Components of Hue Saturation Value” yang bertujuan menerapkan metode segmentasi threshold otsu pada citra finis (lapisan kayu). Hasil dari penelitian dengan menggunakan 10 data citra finis sebesar 97,05%. Oleh karena itu threshold otsu bagus untuk segmentasi citra (Muwakhid & Nurdiyah, 2018).

Kemudian penelitian untuk ekstraksi citra dilakukan Teguh Dwi Prihartono, dkk dengan judul “Identifikasi Iris Mata Menggunakan Alihragam *Wavelet Haar*” yang bertujuan membuat aplikasi yang mampu melakukan pengenalan identitas pemilik mata menggunakan metode *wavelet haar* dengan perhitungan jarak euclidean. Penelitian ini menggunakan data citra mata sejumlah 64 citra iris mata dengan ciri yang digunakan yaitu energi pada setiap level atau aras. Hasil tingkat



pengenalan untuk alih ragam wavelet haar aras/level 1, 2, 3, 4 masing-masing yaitu 65,27%, 74,15%, 76,50%, dan 81,20%. Oleh karena itu semakin banyak level yang digunakan maka tingkat akurasi akan semakin tinggi (Prihartono, dkk., 2011). Selain itu M. Guijarro, dkk juga melakukan penelitian dengan judul “Discrete Wavelets Transform for Improving Greenness Image Segmentation in Agricultural Image” untuk mengekstraksi ciri citra pertanian dengan parameter statistik yaitu rata-rata dan standar deviasi sehingga diperoleh hasil yang lebih baik jika kualitas citra yang digunakan rendah yaitu sebesar 4,5% dengan 240 citra (Guijarro, dkk., 2015).

Penelitian sebelumnya yang menggunakan *Artificial Neural Network* dengan algoritma *backpropagation* dapat digunakan pada banyak permasalahan seperti untuk prediksi, klasifikasi sinyal EEG, dan klasifikasi citra/gambar. Pada penelitian klasifikasi sinyal EEG ditulis oleh Dian Candra Rini Novitasari dengan judul “Klasifikasi Sinyal EEG Menggunakan Metode *Fuzzy C-Means Clustering* (FCM) dan *Adaptive Neighborhood Modified Backpropagation* (ANMBP)” digunakan data set sinyal EEG direkam pada sukarelawan normal dan epilepsi kemudian dilakukan sistem klasifikasi dengan hasil sistem sementara sebesar 74,37% (Novitasari, Klasifikasi Sinyal EEG Menggunakan Metode Fuzzy C-Means Clustering (FCM) dan Adaptive Neighborhood Modified Backpropagation (ANMBP), 2015). Pada penelitian klasifikasi citra atau gambar ditulis oleh Dimililer dengan judul “Backpropagation Neural Network Implementation for Medical Image Compression” yang menerapkan metode backpropagation untuk citra X-ray tulang yang patah, lepas, putus, dan sehat berjumlah 80 citra dengan

hasil akurasi 90,0% (Dimililer, 2013). Selain itu Changkong dkk juga melakukan penelitian yang berjudul “Automatic cervical cell segmentation and classification in pap smears” yang bertujuan mengklasifikasikan beberapa bagian dari *serviks* dengan tes pap smear berdasarkan 2 kelas, 4 kelas, dan 7 kelas dengan dataset yang digunakan yaitu dari ERUDIT sebanyak 552 citra, LCH sebanyak 300 citra, dan Herlev sebanyak 917 citra. Metode yang digunakan yaitu *Artificial Neural Network Backpropagation* dengan hasil nilai akurasi setiap kelas dan masing-masing data yaitu dataset dari ERUDIT dengan 4 kelas dan 2 kelas adalah 96,20% dan 97,83%, kemudian untuk dataset dari LCH dengan 4 kelas dan 2 kelas adalah 95,00% dan 97,00%, untuk dataset Herlev dengan 7 kelas dan 2 kelas adalah 93,78% dan 99,27%. Berdasarkan hasil tersebut metode ini menunjukkan kinerja yang sangat baik untuk klasifikasi (Changkong, dkk., 2014).

Berdasarkan penelitian-penelitian sebelumnya, maka pada penelitian ini penulis akan melakukan studi tentang “Identifikasi Tumor pada Otak Menggunakan *Discrete Wavelet Transform* (DWT) dan *Artificial Neural Network* (ANN)”. Pada penelitian ini tahapan pengolahan citra MRI terhadap diagnosis glioma meliputi perbaikan awal citra menggunakan *adaptive histogram equalization* dan *median filter*, segmentasi citra menggunakan *threshold otsu* yang ditujukan sebagai pemisahan objek yang berisi informasi penting, pemilihan metode segmentasi *threshold otsu* dikarenakan citra hasil segmentasi *threshold* berupa citra biner (hitam dan putih) sehingga lebih mudah untuk membedakan antara *background* dan objek.







## 2. Bab II Tinjauan Pustaka

Kajian pustaka merupakan penjelasan tentang pustaka dan teori yang digunakan untuk membangun kerangka kerja penelitian skripsi. Dalam pembuatan kajian pustaka harus dapat dipertanggungjawabkan dengan teori yang digunakan oleh seorang ahli. Kajian pustaka dalam skripsi ini memuat tumor otak (glioma), bagian-bagian otak, metode pemrosesan citra yaitu ekualisasi histogram, dan *median filter*, segmentasi citra (*Threshold Otsu*), Transformasi *Wavelet Haar*, serta metode klasifikasi yaitu ANN menggunakan *Backpropagation*.

## 3. Bab III Metode Penelitian

Pada bab ini berisi jenis penelitian, lokasi penelitian, sumber data, teknik analisis data, dan rancangan sistem. Bab ini menjelaskan tentang metode penelitian skripsi yang dijabarkan secara jelas dan detail agar pembaca dapat paham langkah-langkah penelitian dalam skripsi ini.

## 4. Bab IV Pembahasan

Bab ini menjelaskan tentang semua jawaban dari masalah yang telah dirumuskan dan diteliti menggunakan metode penelitian pada bab tiga secara jelas serta terdapat proses untuk menemukan jawaban dari rumusan masalah.

## 5. Bab V Penutup

Pada bab ini berisi tentang kesimpulan serta saran atas penelitian yang dilakukan pada skripsi.















angka-angka perwakilan dari setiap piksel warna. Pengolahan citra adalah suatu sistem dimana proses dilakukan dengan input berupa citra (gambar) dan outputnya juga berupa citra dengan proses yang berupa perbaikan baik kualitas citra atau penyajian citra. Pada citra juga dapat diterapkan *watermarking* agar tahan terhadap berbagai serangan atau pembajakan (Fanani & Ulinnuha, 2016). Pengolahan citra mempunyai dua tujuan utama, yaitu sebagai berikut (Anggriyani, 2015):

- 1) memperbaiki kualitas citra (*Image Enhancement*), sehingga manusia dapat melihat informasi yang diharapkan dengan menginterpretasikan citra yang ada.
- 2) mengekstraksi informasi ciri yang menonjol pada suatu citra, sehingga mendapatkan citra yang numerik.

Pada umumnya sebuah citra digital berbentuk persegi panjang yang dimensi ukurannya dinyatakan dalam lebar kali panjang atau  $M \times N$ . Piksel merupakan elemen pada citra digital. Sehingga jika citra berukuran  $M \times N$  maka mempunyai  $MN$  buah piksel. Secara umum citra yang mampu diolah dan dihasilkan oleh komputer berupa citra biner (*binary image*), citra keabuan (*grayscale*), dan citra warna (*true color*). Dibawah ini adalah penjelasan masing-masing tipe citra (Putra, 2009):

- a) Citra biner merupakan citra yang paling sederhana. Citra ini hanya memiliki dua kemungkinan nilai *pixel* yaitu hitam dan putih. Warna hitam ditunjukkan dengan nilai 0 dan warna putih ditunjukkan dengan nilai 1. Citra ini juga sering disebut citra B&W (*black and white*) atau citra monokrom.

- b) *Grayscale* merupakan citra yang mampu menghasilkan degradasi warna abu-abu dari warna hitam hingga warna putih. Tingkat keabuan disini merupakan warna abu dengan berbagai tingkatan, berupa bilangan antara 0-255. Nilai ini digunakan untuk menunjukkan nilai intensitas. Nilai 0 untuk warna hitam, nilai 255 untuk warna putih sedangkan nilai antara 0-255 untuk warna antara hitam dan putih (keabuan).
- c) *True color* atau RGB merupakan perpaduan dari ketiga komponen utama pembentuk warna yang dikenal sebagai warna RGB. RGB terdiri dari tiga warna dasar yaitu merah, hijau, dan biru. Dalam beberapa penelitian sebelumnya yang lebih banyak digunakan adalah warna hijau.

Pada pengolahan citra digital terdapat beberapa metode yaitu proses pengolahan awal citra (*preprocessing*) untuk perbaikan kualitas citra, segmentasi citra, dan ekstraksi citra.

### 1. *Preprocessing* citra

*Preprocessing* citra adalah proses awal atau langkah pertama yang dilakukan untuk memperbaiki kualitas citra dengan menggunakan teknik-teknik pengolahan citra. Teknik yang digunakan dalam *preprocessing*, salah satunya yaitu perbaikan kualitas citra atau *image enhancement*. Perbaikan kualitas citra perlu dilakukan karena kualitas citra yang buruk dapat mengganggu atau mempengaruhi proses selanjutnya. Operasi-operasi dasar yang dilakukan adalah sebagai berikut (Munir, 2004):











d. Operasi Spasial (*median filtering*)

Operasi spasial adalah suatu teknik perbaikan citra dengan menggunakan suatu kernel dua dimensi. Kernel merupakan suatu matrik persegi berukuran ( $a \times b$ ) dengan elemen-elemennya bilangan-bilangan yang membentuk pola tertentu. Ukuran kernel sangat beragam, tapi umumnya adalah  $2 \times 2$ ,  $3 \times 3$ ,  $5 \times 5$  dan sebagainya. Macam-macam teknik perbaikan citra dengan operasi spasial yaitu *neighborhood averaging*, *median filtering*, dan *high-pass filtering*. Pada tahap filter median merupakan sebuah filter yang berfungsi untuk menghaluskan dan mengurangi *noise*/gangguan/kerusakan pada citra. Metode ini sangat bagus dalam pengurangan *noise* dan mampu menghilangkan *salt-and-paper-noise* karena filter median mempunyai sifat yang menjauhi hitam dan putih (Gonzales & Woods, 2008). Pada filter median dimensi yang digunakan untuk kernel adalah ukuran ganjil, sebab jika semakin kecil ukuran kernel yang digunakan akan semakin dapat meningkatkan kualitas citra, karena citra juga akan lebih detail dan menghasilkan *smoothing* yang sedikit (Masruroh, 2016). Pada penelitian ini akan digunakan *median filtering* untuk memperbaiki kualitas citra. Proses *median filter* yaitu dengan cara mencari nilai tengah dari nilai piksel tetangga yang mempengaruhi piksel tengah, dengan cara mengurutkan nilai-nilai piksel tetangga, baru kemudian dipilih nilai tengahnya (Hamidah, 2013). Pengurutan diawali dengan nilai terkecil sampai nilai terbesar, untuk menghitung nilai tengahnya yaitu dengan Persamaan 2.7.



asumsi bahwasaris tersebut yang merupakan tepi dari objek yang memisahkan objek satu dengan objek yang lain atau antara objek dengan latar belakang (*background*). Segmentasi daerah merupakan proses segmentasi yang dilakukan untuk mendapatkan daerah yang dipercaya adalah sebuah objek. Kemudian untuk mendapatkan daerah tersebut, dilakukan analisis terhadap kesamaan warna dan tekstur di setiap piksel yang ada pada sebuah citra.

Segmentasi yang digunakan pada penelitian ini *local threshold* sehingga citra akan dibagi menjadi ke dalam beberapa wilayah dengan diidentifikasi per wilayah untuk diketahui nilai thresholdnya. Threshold akan mengkonversikan citra *grayscale* ke citra *biner* (hitam atau putih). Persamaan 2.8 threshold yang biasa digunakan adalah sebagai berikut (Muwakhid & Nurdiyah, 2018).

$$g(x,y) = \begin{cases} 1 & \text{jika } f(x,y) \geq T; \\ 0 & \text{jika } f(x,y) < T; \end{cases} \quad (2.8)$$

Metode threshold otsu berfungsi untuk membagi citra histogram kedalam dua daerah yang berbeda secara otomatis. Pada threshold otsu terdapat perhitungan yang harus dilakukan untuk mendapatkan nilai threshold (Syafi'i, dkk., 2015). Langkah pertama harus diketahui jumlah piksel untuk setiap tingkat keabuannya dengan melihat histogram citra. Tingkat keabuan citra dilambangkan dengan  $i$  sampai  $L$ . Level ke  $i$  dimulai dari 1 yang merupakan piksel bernilai 0. Sedangkan nilai  $L$  maksimal level adalah 256 dengan piksel bernilai 255. Kemudian nilai ambang yang akan dicari dari suatu citra *grayscale* dinyatakan dengan huruf  $k$ . Nilai  $k$  berkisar antara  $0-(L-$



















mengetahui keseragaman serta pemusatan ssebuah data pada citra, Kemudian vektor fitur ciri tersebut digunakan untuk input *artificial neural network* menggunakan *backpropagation*.

#### **E. *Artificial Neural Network* (ANN)**

*Artificial Neural Network* merupakan salah satu sistem pemrosesan informasi yang didesain dengan menirukan cara kerja otak manusia dengan melakukan proses belajar melalui perubahan bobot sinopsis-nya. *Artificial Neural Network* mampu mengenali kegiatan dengan berbasis data pada masa lalu (Hermawan, 2006). Pada metode ini lebih efektif untuk penyelesaian prediksi atau peramalan dan pengenalan pola. Seperti pada otak manusia, *artificial neural network* juga terdiri dari beberapa neuron dan masing-masing neuron pada lapisan yang berbeda saling terhubung satu dengan yang lain. Neuron adalah sebuah unit pemroses informasi yang merupakan dasar operasi pada jaringan syaraf. Pada *artificial neural network*, neuron-neuron ini dimodelkan berdasarkan penyerdehanaan sel syaraf manusia. Setiap neuron pada jaringan menerima atau mengirim sinyal dari atau ke neuron-neuron yang lain pada lapisan yang lain pula. Pengiriman sinyal disampaikan melalui penghubung. Kekuatan hubungan yang terjadi antara neuron-neuron yang saling berhubungan dinyatakan dengan bobot. Perubahan yang terjadi selama proses pembelajaran adalah perubahan nilai bobot. Nilai bobot akan bertambah, jika informasi yang diberikan oleh neuron yang bersangkutan tersampaikan, sebaliknya jika informasi tidak disampaikan oleh suatu neuron ke neuron lainnya, maka nilai bobot yang menghbungkan keduanya akan

dikurangi. Neuron-neuron ini juga yang nantinya akan memproses input tersebut kemudian mengirimkan hasilnya berupa sebuah output.

Pada dasarnya jaringan syaraf tiruan dibagi menjadi dua lapisan antara lain lapisan input (input layer) dan lapisan output (output layer) yang mempunyai jumlah node atau neuron yang berbeda (Anggriyani, 2015). Namun, adapula JST (ANN) yang mempunyai satu lapisan lagi yang terletak diantara lapisan input dan lapisan output yang disebut dengan lapisan tersembunyi atau sering disebut hidden layer (Novitasari, Farida, & Puspitasari, Klasifikasi Menggunakan Metode Hybrid Bayessian-Neural Network (Studi Kasus: Identifikasi Virus Komputer), 2016). Lapisan-lapisan diatas, mempunyai konsep kerja masing-masing yaitu sebagai berikut: lapisan input digunakan untuk menyatakan nilai sebuah pola sebagai input jaringan. Input merupakan suatu kumpulan informasi yang diperoleh dari data yang sedang diteliti. Lapisan tersembunyi merupakan lapisan yang tidak langsung berinteraksi dengan dunia luar sehingga hasil output lapisan ini tidak diketahui. Lapisan tersembunyi memperluas jaringan syaraf tiruan dalam menghadapi masalah-masalah yang kompleks. Sedangkan lapisan output berugas sebagai tempat keluaran hasil pemahaman jaringan terhadap data input. Tujuan dari pembangunan jaringan syaraf tiruan adalah untuk mengetahui nilai output atau hasil (Puspitaningrum, 2006). Jaringan syaraf ditentukan oleh 3 hal yaitu (Fausett, 1994):

1. pola hubungan antar neuron atau sering disebut arsitektur jaringan.
2. metode untuk menentukan bobot penghubung atau sering disebut algoritma.
3. fungsi aktivasi (fungsi untuk menghasilkan output).

## 1. *Backpropagation*

Algoritma *backpropagation* adalah algoritma yang melatih jaringan dengan menyebarkan error output mundur dari lapisan output sampai ke lapisan input. Error ini berfungsi mengevaluasi turunan dari fungsi kesalahan untuk penyesuaian bobot agar memperoleh output sesuai dengan target yang diinginkan (Yeung, dkk., 2010). Algoritma ini dapat digunakan untuk banyak lapisan atau *multilayer*. Metode *backpropagation* adalah metode dari bagian *Artificial Neural Network* yang populer karena sangat baik dalam menangani masalah pengenalan pola-pola kompleks. Algoritma *backpropagation* dibagi menjadi dua bagian yaitu algoritma pelatihan dan algoritma pengujian. Didalam *backpropagation* ada tiga fase yaitu *propagation* fase maju, *propagation* fase mundur, kemudian pemberian bobot. Algoritma pelatihan menggunakan semua ketiga fase didalam *backpropagation*, sedangkan algoritma pengujian hanya menggunakan fase maju (Puspitaningrum, 2006).

*Backpropagation* merupakan metode pelatihan terawasi (*supervised learning*), artinya mempunyai target yang akan dicari. Ciri dari *backpropagation* adalah meminimalkan error pada output yang dihasilkan oleh jaringan. Algoritma *backpropagation*, biasanya menggunakan jaringan multilayer yaitu terdiri dari input layer (layer masukan), hidden layer (layer tersembunyi), output layer (layer keluaran). Dibawah ini Gambar 2.10 adalah gambar jaringan multilayer.























#### D. Teknik Analisis Data

Data dalam penelitian ini dibagi menjadi dua yaitu data *training* dan data *testing*. Data tersebut diperoleh dari hasil ekstraksi citra yang telah dilakukan sebelumnya. Data *training* digunakan untuk mencari model terbaik, sedangkan data *testing* berfungsi untuk menguji ketepatan model dari hasil data *training*. Penelitian ini menggunakan data *training* dan *testing* dengan komposisi 80% dan 20% serta 75% dan 25% dari seluruh data (Hota, 2013).

Data yang digunakan dalam penelitian ini adalah berupa citra MRI otak. Total keseluruhan data yang digunakan pada penelitian ini sebanyak 60 data citra MRI otak. Pertama dilakukan perbaikan citra MRI otak Selanjutnya akan dilakukan segmentasi (pemisahan objek dan latar belakang/background) menggunakan *Threshold Otsu*, kemudian ekstraksi citra menggunakan *Discrete Wavelet Transform (DWT) Haar* yang menghasilkan fitur *wavelet*. Fitur *wavelet* diperoleh dengan analisis tekstur. Analisis tekstur yang digunakan adalah energi, rata-rata, dan standar deviasi yang berupa vektor. Nilai dari ketiga tekstur yang berupa vektor akan digunakan sebagai *input* pada model *Artificial Neural Network*. Sebelum digunakan untuk data inputan ke dalam model, terlebih dahulu menentukan data *training* dan data *testing* yang nantinya akan digunakan untuk metode pembelajaran algoritma *backpropagation*.

























Tabel 4.2 Hasil Perhitungan Nilai Keabuan *Adaptive Histogram Equalization*

Skala Keabuan	Frek	Hasil Keabuan
10	4	41
20	2	20
15	1	10
30	1	10
5	2	20
125	2	20
210	3	200
200	3	210
229	3	214
8	1	10
25	4	41
35	3	31
40	3	31
150	5	100
254	6	220
171	3	31
81	1	10
154	2	90
50	3	31
70	3	31
29	1	10
186	5	60
136	5	51
140	1	53
115	5	40
122	3	35
39	4	20
55	3	31
90	2	15
44	3	31
65	1	10
58	2	25
108	3	40
111	1	10
116	1	10
132	2	20

- 4) Langkah selanjutnya yaitu hasil keabuan pada Tabel 4.2 dimasukkan kedalam matriks awal. Misal matriks awal nilai keabuannya 10 setelah diperoleh hasil perhitungan histogram nilai keabuan 10 diganti dengan nilai 41. Matriks hasil perhitungan histogram tersaji pada Gambar 4.7.

























level 5 diperoleh sub-sub bidang filter yang paling banyak yaitu sebanyak 16 buah subbidang. Pada proses komputasi menggunakan software Matlab R2015a digunakan level dekomposisi 4 dan 5 dikarenakan waktu komputasinya yang lebih cepat serta mendekati nilai perhitungan dari level yang digunakan untuk ukuran citra  $256 \times 256$ . Selain menggunakan komputasi dapat pula dilakukan secara manual apabila ukuran citra kecil. Langkah-langkah perhitungan metode wavelet secara matematis:

- a) Lakukan *transpose* pada matriks *input*
- b) Mengkalikan filter rendah dan tinggi yang sudah digabung dengan matriks *input*
- c) Lakukan *transpose* matriks hasil dari langkah b)
- d) Mengkalikan filter rendah dan tinggi yang sudah digabung dengan hasil *transpose* pada langkah c)
- e) Menampilkan *output* yang terdiri dari 4 subbidang yaitu LL, HL, LH, HH
- f) Apabila level lebih dari 1 maka ulangi lagi langkah a) sampai dengan e) dengan inputannya yaitu matriks subbidang LL dari level sebelumnya, dan selanjutnya juga begitu.

Diberikan matriks *input* ukuran  $4 \times 4$  dengan percobaan level 1 pada Gambar 4.22.













sebanyak 3 nilai. Fitur rata-rata meliputi rata-rata aproksimasi sebanyak 1 nilai, rata-rata horisontal sebanyak 3 nilai, rata-rata vertikal sebanyak 3 nilai, dan rata-rata diagonal juga sebanyak 3 nilai. Fitur standar deviasi meliputi standar deviasi aproksimasi sebanyak 1 nilai, standar deviasi horisontal sebanyak 3 nilai, standar deviasi vertikal sebanyak 3 nilai, dan standar deviasi diagonal juga sebanyak 3 nilai.

## **B. Klasifikasi Citra Otak**

Tahap sebelumnya yang telah dilakukan yaitu ekstraksi citra dengan mengambil ciri fitur citra otak. Hasil dari ekstraksi citra yang berupa nilai vektor energi, rata-rata, dan standar deviasi kemudian akan dijadikan inputan untuk tahap klasifikasi. Klasifikasi digunakan untuk membedakan atau mengidentifikasi citra otak yang termasuk normal atau teridentifikasi tumor (glioma). Metode yang digunakan untuk klasifikasi adalah *Artificial Neural Network Backpropagation*. *Artificial Neural Network* adalah metode yang mengadopsi dari pola atau perilaku jaringan saraf manusia. *Backpropagation* merupakan metode dari bagian *Artificial Neural Network* yang populer karena sangat baik dalam menangani masalah pengenalan pola-pola kompleks. *Backpropagation* adalah algoritma pembelajaran sehingga metode ini perlu adanya pembelajaran atau pelatihan agar memperoleh hasil yang sesuai dengan yang diinginkan. Pada proses *backpropagation* selain pembelajaran juga terdapat proses *testing* atau pengujian dengan inputannya bobot hasil dari proses *training*. Struktur proses *backpropagation* terdiri dari layer input, hidden layer, dan layer output. Struktur klasifikasi *backpropagation* penelitian ini ditunjukkan pada Gambar 4.31.









## a) Fase Propagasi Maju

Pada fase ini dihitung nilai semua keluaran di unit dari layer tersembunyi ( $z_j$ ). Berikut ini proses perhitungannya dengan menggunakan Persamaan 2.26 dan 2.27.

$$z_{net_j} = v_{j0} + \sum_{i=1}^n x_i v_{ji} \quad (2.26)$$

$$\begin{aligned} z_{net_1} &= v_{10} + x_1 v_{11} + x_2 v_{12} + x_3 v_{13} + x_4 v_{14} + x_5 v_{15} + x_6 v_{16} + x_7 v_{17} + x_8 v_{18} \\ &\quad + x_9 v_{19} + x_{10} v_{110} + x_{11} v_{111} + x_{12} v_{112} \\ z_{net_1} &= (-0,1) + 0,12458 (0,1) + 0,20068 (0,2) + 0,19186 (-0,3) + 0,00267 (0,1) \\ &\quad + 0,00026 (0,2) + 0,00068 (0,3) + 0,09405 (0,1) + 0,14214 (0,2) \\ &\quad + 0,1290 (-0,3) + 0,00153 (-0,1) + (-0,00045)(0,3) \\ &\quad + 0,00053 (0,2) = -0,10549 \\ z_{net_2} &= v_{20} + x_1 v_{21} + x_2 v_{22} + x_3 v_{23} + x_4 v_{24} + x_5 v_{25} + x_6 v_{26} + x_7 v_{27} + x_8 v_{28} \\ &\quad + x_9 v_{29} + x_{10} v_{210} + x_{11} v_{211} + x_{12} v_{212} \\ z_{net_2} &= (0,3) + 0,12458 (0,2) + 0,20068 (-0,3) + 0,19186 (0,1) + 0,00267 (-0,2) \\ &\quad + 0,00026 (0,3) + 0,00068 (0,1) + 0,09405 (-0,3) + 0,14214 (0,3) \\ &\quad + 0,1290 (-0,2) + 0,00153 (0,2) + (-0,00045)(0,2) \\ &\quad + 0,00053 (0,3) = 0,2725111 \\ z_{net_3} &= v_{30} + x_1 v_{31} + x_2 v_{32} + x_3 v_{33} + x_4 v_{34} + x_5 v_{35} + x_6 v_{36} + x_7 v_{37} + x_8 v_{38} \\ &\quad + x_9 v_{39} + x_{10} v_{310} + x_{11} v_{311} + x_{12} v_{312} \\ z_{net_3} &= (-0,1) + 0,12458 (-0,3) + 0,20068 (0,1) + 0,19186 (-0,2) \\ &\quad + 0,00267 (0,2) + 0,00026 (0,2) + 0,00068 (0,3) + 0,09405 (-0,1) \\ &\quad + 0,14214 (0,1) + 0,1290 (0,2) + 0,00153 (-0,3) \\ &\quad + (-0,00045)(0,1) + 0,00053 (0,1) = -0,124730 \\ z_{net_4} &= v_{40} + x_1 v_{41} + x_2 v_{42} + x_3 v_{43} + x_4 v_{44} + x_5 v_{45} + x_6 v_{46} + x_7 v_{47} + x_8 v_{48} \\ &\quad + x_9 v_{49} + x_{10} v_{410} + x_{11} v_{411} + x_{12} v_{412} \\ z_{net_4} &= (0,2) + 0,12458 (0,3) + 0,20068 (0,1) + 0,19186 (0,3) + 0,00267 (0,1) \\ &\quad + 0,00026 (-0,3) + 0,00068 (-0,2) + 0,09405 (0,2) \\ &\quad + 0,14214 (-0,2) + 0,1290 (0,1) + 0,00153 (0,3) \\ &\quad + (-0,00045)(0,3) + 0,00053 (-0,1) = 0,318606 \\ z_{net_5} &= v_{50} + x_1 v_{51} + x_2 v_{52} + x_3 v_{53} + x_4 v_{54} + x_5 v_{55} + x_6 v_{56} + x_7 v_{57} + x_8 v_{58} \\ &\quad + x_9 v_{59} + x_{10} v_{510} + x_{11} v_{511} + x_{12} v_{512} \end{aligned}$$

$$\begin{aligned}
z_{net_5} &= (-0,3) + 0,12458 (0,2) + 0,20068 (-0,3) + 0,19186 (-0,2) \\
&\quad + 0,00267 (0,3) + 0,00026 (-0,1) + 0,00068 (0,3) + 0,09405 (0,1) \\
&\quad + 0,14214 (0,3) + 0,1290 (0,1) + 0,00153 (-0,1) \\
&\quad + (-0,00045)(-0,2) + 0,00053 (0,3) = -0,30764
\end{aligned}$$

Kemudian dihitung fungsi aktivasi dengan menggunakan rumus fungsi aktivasi bipolar yaitu memangkatkan nilai dari hasil perhitungan jaringan atau node keluaran layer tersembunyi.

$$z_j = f(z_{net_j}) = \frac{1}{1 + e^{-z_{net_j}}} \quad (2.27)$$

$$z_1 = f(z_{net_1}) = \frac{1}{1 + e^{-z_{net_1}}}$$

$$z_1 = f(z_{net_1}) = \frac{1}{1 + e^{-(-0,10549)}} = 2,111255$$

$$z_2 = f(z_{net_2}) = \frac{1}{1 + e^{-z_{net_2}}}$$

$$z_2 = f(z_{net_2}) = \frac{1}{1 + e^{-(0,2725111)}} = 1,761464$$

$$z_3 = f(z_{net_3}) = \frac{1}{1 + e^{-z_{net_3}}}$$

$$z_3 = f(z_{net_3}) = \frac{1}{1 + e^{-(-0,124730)}} = 2,13284$$

$$z_4 = f(z_{net_j}) = \frac{1}{1 + e^{-z_{net_4}}}$$

$$z_4 = f(z_{net_j}) = \frac{1}{1 + e^{-(-0,318606)}} = 1,72716$$

$$z_5 = f(z_{net_j}) = \frac{1}{1 + e^{-z_{net_5}}}$$

$$z_5 = f(z_{net_j}) = \frac{1}{1 + e^{-(-0,30764)}} = 2,36021$$









Tabel 4.6 Hasil Perhitungan Bobot dari Layer Tersembunyi ke Layer *Input*

	$\alpha \delta_j x_i$		$\alpha \delta_j x_i$
$\Delta v_{10}$	-0,053	$\Delta v_{17}$	-0,00498
$\Delta v_{20}$	-0,0302	$\Delta v_{27}$	-0,00284
$\Delta v_{30}$	-0,0182	$\Delta v_{37}$	-0,00171
$\Delta v_{40}$	0,0192	$\Delta v_{47}$	0,00180
$\Delta v_{50}$	-0,0488	$\Delta v_{57}$	-0,00458
$\Delta v_{11}$	-0,00002	$\Delta v_{18}$	-0,00003
$\Delta v_{21}$	-0,00001	$\Delta v_{28}$	-0,00002
$\Delta v_{31}$	-0,000009	$\Delta v_{38}$	-0,00001
$\Delta v_{41}$	0,00001	$\Delta v_{48}$	0,00001
$\Delta v_{51}$	-0,00002	$\Delta v_{58}$	-0,00003
$\Delta v_{12}$	0,00002	$\Delta v_{19}$	-0,00001
$\Delta v_{22}$	0,00001	$\Delta v_{29}$	-0,000007
$\Delta v_{32}$	0,000008	$\Delta v_{39}$	-0,000004
$\Delta v_{42}$	-0,000008	$\Delta v_{49}$	0,000004
$\Delta v_{52}$	0,00002	$\Delta v_{59}$	-0,00001
$\Delta v_{13}$	-0,00008	$\Delta v_{110}$	-0,00014
$\Delta v_{23}$	-0,00004	$\Delta v_{210}$	-0,00008
$\Delta v_{33}$	-0,00002	$\Delta v_{310}$	-0,00004
$\Delta v_{43}$	0,00002	$\Delta v_{410}$	0,00005
$\Delta v_{53}$	-0,00007	$\Delta v_{510}$	-0,00013
$\Delta v_{14}$	-0,00683	$\Delta v_{111}$	-0,01016
$\Delta v_{24}$	-0,00389	$\Delta v_{211}$	-0,00579
$\Delta v_{34}$	-0,00234	$\Delta v_{311}$	-0,00349
$\Delta v_{44}$	0,00247	$\Delta v_{411}$	0,00368
$\Delta v_{54}$	-0,00629	$\Delta v_{511}$	-0,00936
$\Delta v_{15}$	-0,00753	$\Delta v_{112}$	-0,01063
$\Delta v_{25}$	-0,00429	$\Delta v_{212}$	-0,00606
$\Delta v_{35}$	-0,00258	$\Delta v_{312}$	-0,00365
$\Delta v_{45}$	0,00272	$\Delta v_{412}$	0,00385
$\Delta v_{55}$	-0,00693	$\Delta v_{512}$	-0,00979
$\Delta v_{16}$	-0,00753	$\Delta v_{113}$	-0,00660
$\Delta v_{26}$	-0,00429	$\Delta v_{213}$	-0,00376
$\Delta v_{36}$	-0,00258	$\Delta v_{313}$	-0,00226
$\Delta v_{46}$	0,00272	$\Delta v_{413}$	0,00239
$\Delta v_{56}$	-0,00693	$\Delta v_{513}$	-0,00607

$$v_{ji}(\text{baru}) = v_{ji}(\text{lama}) + \Delta v_{ji} \quad (2.36)$$

Persamaan 2.36 digunakan untuk perhitungan bobot yang baru. Kemudian setelah diperoleh bobot baru maka dilakukan iterasi kedua seperti proses diatas yaitu propagasi maju, propagasi mundur, dan pembaruan bobot sampai memperoleh hasil pola atau target yang ditentukan misalnya target error atau iterasi.

Klasifikasi *backpropagation* pada penelitian ini dilakukan secara komputasi dengan menggunakan *software* Matlab R2015a. Penelitian identifikasi tumor pada otak (glioma) dilakukan dengan 2 macam pengujian berdasarkan proporsi data *training* dan *testing*. Pengujian pertama digunakan proporsi data *training* dan *testing* sebanyak 80% dan 20% dari total data 60 citra otak (normal dan tumor/glioma) sehingga terdapat 48 citra untuk proses *training* dan 12 citra untuk proses *testing* dengan *output* klasifikasi normal dan tumor (glioma). Kemudian pada pengujian kedua digunakan proporsi data *training* dan *testing* sebanyak 75% dan 25% dari total data 60 citra otak yaitu normal dan tumor atau glioma sehingga ada 45 citra untuk data pada proses *training* dan 15 citra untuk data dengan proses *testing*. Data inputan berupa vektor hasil dari proses ekstraksi citra menggunakan DWT haar dengan 2 macam level dekomposisi yaitu 4 dan 5.

Tabel 4.7 Tabel Perhitungan Bobot Baru dari Layer Tersembunyi ke Layer

*Input*

	$v_{ji}(lama) + \Delta v_{ji}$		$v_{ji}(lama) + \Delta v_{ji}$
$\Delta v_{10}$	-0,153	$\Delta v_{17}$	0,29996
$\Delta v_{20}$	0,2698	$\Delta v_{27}$	0,09997
$\Delta v_{30}$	-0,1182	$\Delta v_{37}$	0,29998
$\Delta v_{40}$	0,2192	$\Delta v_{47}$	-0,19998
$\Delta v_{50}$	-0,3488	$\Delta v_{57}$	0,29996
$\Delta v_{11}$	0,19997	$\Delta v_{18}$	0,19998
$\Delta v_{21}$	0,29998	$\Delta v_{28}$	0,29999
$\Delta v_{31}$	0,09999	$\Delta v_{38}$	0,19999
$\Delta v_{41}$	-0,09998	$\Delta v_{48}$	-0,29999
$\Delta v_{51}$	0,29997	$\Delta v_{58}$	-0,10001
$\Delta v_{12}$	0,30002	$\Delta v_{19}$	0,09985
$\Delta v_{22}$	0,20001	$\Delta v_{29}$	0,19991
$\Delta v_{32}$	0,100008	$\Delta v_{39}$	0,19995
$\Delta v_{42}$	0,29999	$\Delta v_{49}$	0,10005
$\Delta v_{52}$	-0,19997	$\Delta v_{59}$	0,29986
$\Delta v_{13}$	-0,10008	$\Delta v_{110}$	-0,31016
$\Delta v_{23}$	0,19995	$\Delta v_{210}$	0,09420
$\Delta v_{33}$	-0,30002	$\Delta v_{310}$	-0,20349
$\Delta v_{43}$	0,30002	$\Delta v_{410}$	0,30368
$\Delta v_{53}$	-0,10007	$\Delta v_{510}$	-0,20936
$\Delta v_{14}$	-0,30683	$\Delta v_{111}$	0,18936
$\Delta v_{24}$	-0,20389	$\Delta v_{211}$	-0,00579
$\Delta v_{34}$	0,19765	$\Delta v_{311}$	-0,00349
$\Delta v_{44}$	0,10247	$\Delta v_{411}$	0,00368
$\Delta v_{54}$	0,09370	$\Delta v_{511}$	-0,00936
$\Delta v_{15}$	0,19246	$\Delta v_{112}$	-0,01063
$\Delta v_{25}$	0,29570	$\Delta v_{212}$	-0,00606
$\Delta v_{35}$	0,09741	$\Delta v_{312}$	-0,00365
$\Delta v_{45}$	-0,19727	$\Delta v_{412}$	0,00385
$\Delta v_{55}$	0,29306	$\Delta v_{512}$	-0,00979
$\Delta v_{16}$	0,09501	$\Delta v_{113}$	0,09339
$\Delta v_{26}$	-0,30284	$\Delta v_{213}$	0,19623
$\Delta v_{36}$	-0,10171	$\Delta v_{313}$	-0,30226
$\Delta v_{46}$	0,20180	$\Delta v_{413}$	0,30239
$\Delta v_{56}$	-0,09541	$\Delta v_{513}$	-0,30607













Tabel 4.11 Struktur *Confussion Matrix*

Nilai Prediksi \ Nilai Sebenarnya	<i>Negative</i>	<i>Positive</i>
<i>Negative</i>	TN ( <i>True Negative</i> )	FP ( <i>False Positive</i> )
<i>Positive</i>	FN ( <i>False Negative</i> )	TP ( <i>True Positive</i> )

Pengamatan sensitivitas, spesifitas, dan akurasi berdasarkan pada tabel hasil klasifikasi data *testing*. Hasil *confussion matrix* klasifikasi *backpropagation* pada Gambar 4.33.

cm =	
6	1
0	5

Gambar 4.35 Hasil *Confussion Matrix* Pada Klasifikasi *Backpropagation*

Pada Gambar 4.33 diperoleh tabel *confussion matrix* dari data *testing* yaitu terdapat 6 citra otak normal yang teridentifikasi tepat benar tidak sakit (TN) dan 5 citra tumor otak (glioma) yang teridentifikasi tepat benar sakit (TP) dari 12 citra proses *testing*. Proses selanjutnya yaitu untuk mengetahui nilai sensitivitas, spesifitas, dan juga akurasi dari hasil klasifikasi sistem *backpropagation*.

- i. Pada penelitian ini diperoleh nilai sensitivitas sebesar 100%, artinya bahwa pasien yang menderita tumor jika melakukan uji diagnosa maka pasien tersebut berpeluang 100% positif menderita tumor. Secara matematis dapat dihitung dengan menggunakan Persamaan 2.37 dan pengamatan *confussion matrix* pada Gambar 4.33.

$$\text{sensitivitas} = \frac{5}{5 + 0} \times 100\% = 100\%$$



## BAB V

### PENUTUP

#### A. Simpulan

Berdasarkan hasil penerapan dan percobaan menggunakan DWT dan ANN *Backpropagation* yang telah dilakukan untuk identifikasi tumor pada otak, maka diperoleh simpulan bahwa:

1. Metode *Discrete Wavelet Transform* (DWT) dapat digunakan untuk mengekstraksi fitur citra MRI otak dari hasil perbaikan citra dengan menggunakan *adaptive histogram equalization* dan *median filter*. Pada penelitian ini digunakan DWT Haar yang merupakan bagian dari keluarga *wavelet* yang paling mudah dan sederhana. Level dekomposisi yang digunakan yaitu level 4 dan level 5. Informasi ciri fitur dari citra MRI otak yang diperoleh dari proses DWT (*Discrete Wavelet Transform*) Haar bertujuan untuk membedakan antara *background* citra dan fitur citra. Ciri fitur yang diambil yaitu fitur energi, rata-rata, dan standar deviasi nantinya digunakan sebagai nilai inputan dari proses klasifikasi untuk mengidentifikasi otak normal dan glioma.
2. Berdasarkan hasil ekstraksi citra menggunakan DWT haar dan proses uji coba klasifikasi menggunakan *Artificial Neural Network backpropagation* untuk identifikasi citra MRI otak telah menunjukkan bahwa data *training* dan *testing* terbaik adalah 80% dan 20% dengan layer tersembunyi sebanyak 25, level dekomposisi yaitu 4 diperoleh hasil identifikasi tepat benar 6 citra





- Guijarro, dkk., (2015). Discrete Wavelet Transform for Improving Greenness Image Segmentation in Agricultural Images. *Computers and Electronics in Agriculture*, 396-407.
- Gunawan, dkk., (2011). Perangkat Lunak Segmentasi Citra dengan Metode Watershed. *JSIFO STMIK Mikroskil*, 1-7.
- Guo, dkk., (2014). Two-dimensional Otsu's Thresholding Segmentation Method Based on Grid Box Filter. *Optik*, 5234-5240.
- Gustianingsih, R. (2015). *Penerapan Metode Jaringan Syaraf Tiruan Propagasi Balik untuk Mendiagnosis Tingkat Keganasan Kanker Payudara*. Bogor: Institut Pertanian Bogor.
- Halimatussadiyah. (2017). *Pemrosesan Awal Pendeteksian Glioma Melalui Citra MRI Menggunakan K-Means Clustering*. Medan: Universitas Sumatera Utara.
- Hamidah, U. (2013). *Aplikasi Segmentasi Paru-paru pada Hasil Citra X-Ray Thorax Menggunakan Metode Homotopy Tree*. Malang: Universitas Islam Negeri Maulana Malik Ibrahim.
- Handayani, N. (2013). Analisis Metode Jaringan Syaraf Tiruan Backpropagation untuk Pengenalan Sel Kanker Otak. *Jurnal Ilmiah Komputer dan Informatika*, 10-18.
- Hartono, B., & Lusiana, V. (2014). Analisa Teknik Adaptive Histogram Equalization dan Contrast Stretching untuk Perbaikan Kualitas Citra. *Jurnal Teknologi Informasi DINAMIK*, 1-10.
- Hermawan, A. (2006). *Jaringan Syaraf Tiruan (Teori dan Aplikasi)*. Yogyakarta: Andi.
- Hota, d. (2013). Artificial Neural Network , Decission Tree and Statistical Techniques Applied for Designing and Development E-mail Classifier. *International Journal of Recent Technology and Engineering*, 164-169.
- Johnson, K. A., & Becker, J. A. (2018, Juni 01). Retrieved from the whole brain Atlas: <http://www.med.harvard.edu/aanlib/>
- Listyalina, L. (2017). Peningkatan Kualitas Citra Foto Rontgen Sebagai Media Deteksi Kanker Paru. *Jurnal Teknologi Informasi*, 101-107.
- Masruroh, M. (2016). *Klasifikasi Kanker Serviks menggunakan Model Backpropagation Neural Network dan Preprocessing Citra dengan Operasi Spasial*. Yogyakarta: Universitas Negeri Yogyakarta.

- Meilisa, F. (2016). *Deteksi Meningioma dan Schwannoma dari Citra CT-Scan Menggunakan Gray Level Co-occurrence matrices (GLCM) dan Backpropagation*. Surabaya: Universitas Airlangga.
- Munir, R. (2004). *Pengolahan Citra Digital dengan Pendekatan Algoritmik*. Bandung: Informatika.
- Muwakhid, I. A., & Nurdiyah, D. (2018). Otsu Method for Image Finish Segmentation with Components of Hue Saturation Value. *TRANSFORMATIKA*, 67-73.
- Nayak, dkk., (2015). Brain MR Image Classification using Two-dimensional Discrete Wavelet Transform and AdaBoost with Random Forest. *Neurocomputing*, 1-10.
- Novamizanti, L., & Kurnia, A. (2015). Analisis Perbandingan Kompresi Haar Wavelet Transform dengan Embedded Zerotree Wavelet pada Citra . *ELKOMIKA*, 161-176.
- Novitasari, D. C. (2015). Klasifikasi Sinyal EEG Menggunakan Metode Fuzzy C-Means Clustering (FCM) dan Adaptive Neighborhood Modified Backpropagation (ANMBP). *Jurnal Matematika "MANTIK"*, 31-36.
- Novitasari, dkk., (2016). Klasifikasi Menggunakan Metode Hybrid Bayesian-Neural Network (Studi Kasus: Identifikasi Virus Komputer). *Jurnal Matematika "MANTIK"*, 38-43.
- Nurhayati, O. D. (2015). Analisis Citra Digital CT Scan dengan Metode Ekualisasi Histogram dan Statistik Orde Pertama. *Jurnal Sistem Komputer Vol. 5 No. 1*, 1-10.
- Patel, dkk., (2013). Image Segmentation using K-Mean Clustering for Finding Tumor in Medical Application. *International Journal of Computer Trends and Technology (IJCTT) Vol. 4*, 232-240.
- Prihartono, dkk., (2011). Identifikasi Iris Mata Menggunakan Alihragam Wavelet Haar. *TRANSMISI*, 71-75.
- Purves, dkk., (2001). *Neuroscience second Edition*. Sunderland: Sinauer Associates.
- Puspitaningrum, D. (2006). *Pengantar Jaringan Syaraf Tiruan*. Yogyakarta: Andi Offset.
- Putra, D. (2009). *Pengolahan Citra Digital*. Yogyakarta: Andi.

- Riadi, dkk., (2017). Analisis Komparasi Metode Perbaikan Kontras Berbasis Histogram Equalization pada Citra Medis. *SIMETRIS*, 383-388.
- Sari, dkk., (2013). *Karakteristik Klinis dan Histopatologi pada Tumor Otak di Dua Rumah Sakit di Bandar Lampung*. Lampung: Fakultas Kedokteran Universitas Lampung.
- Siang, J. J. (2005). *Jaringan Syaraf Tiruan & Pemrogramannya Menggunakan MATLAB*. Yogyakarta: ANDI OFFSET.
- Singh, dkk., (2015). Image Processing Based Automatic Diagnosis of Glaucoma using Wavelet Features of Segmented Optic Disc from Fundus Image. *Computer Methods and Programs in Biomedicine*, 108-120.
- Sjahriar, R., & Iwan, E. (2005). *Radiologi Diagnostik Edisi Ke-2*. Jakarta: badan Penerbit FKUI.
- Soesanti, dkk., (2011). Ekstraksi Ciri dan Identifikasi Citra Otak MRI Berbasis Eigenbrain Image. *Forum Teknik Vol. 34 No. 1*, 47-52.
- Sugiarto, E., & Fahmi, A. (2017). Fitur Ekstraksi Berbasis Discrete Wavelet Transform untuk Pengenalan Karakter pada Plat Nomor Kendaraan. *Techno.COM*, 292-299.
- Sukardja, I. D. (2000). *Onkologi Klinik Edisi 2*. Surabaya: Airlangga University Press.
- Suma'inna, & Gumilar, G. (2013). Implementasi Transformasi Wavelet Daubechies Pada Kompresi Citra Digital. *Jurnal CAUCHY*, 212-215.
- Sunjoyo, dkk., (2016). Implementasi Transformasi Haar Wavelet untuk Deteksi Citra Jeruk Nipis yang Busuk. *INFORMATIKA*, 165-173.
- Sutarno. (2010). Analisis Perbandingan Transformasi Wavelet pada Pengenalan Citra Wajah. *GENERIC*, 15-21.
- Syafi'i, dkk., (2015). Segmentasi Obyek Pada Citra Digital Menggunakan Metode Otsu Thresholding . *Jurnal Informatika*, 1-8.
- Syuhada, M. (2015). *Realisasi Pengenalan Plat Nomor Kendaraan dengan Metode Histogram Citra dan Jaringan Syaraf Tiruan Backpropagation*. Bandar Lampung: Universitas Lampung.
- Untari, I. (2012). Kesehatan Otak Modal Dasar Hasilkan SDM Handal. *PROFESI*, 1-6.



